

# Transmission sous contrainte de sécurité avec information adjacente aux récepteurs

Joffrey Villard    Pablo Piantanida

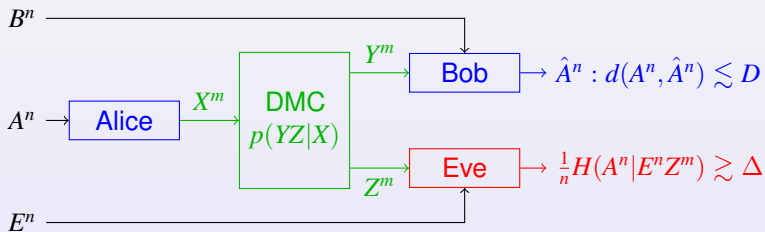
Dpt. Télécommunications, SUPELEC, France

23<sup>ème</sup> colloque du GRETSI

5 septembre 2011



## Contexte

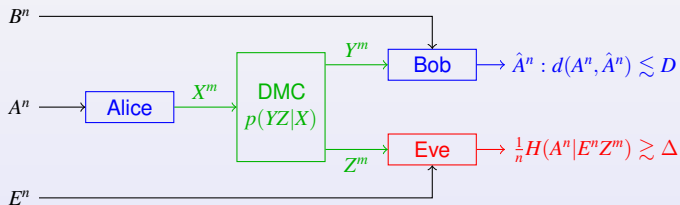


$k = \frac{m}{n}$  utilisations de canal par symbole de source.

**Notre but :** Trouver tous les triplets  $(k, D, \Delta)$  atteignables

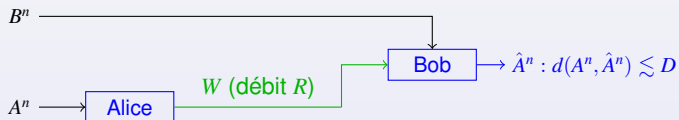
**Compromis :**  $\min. k + \min. D + \text{Max. } \Delta$

# Questions



## 1 Comment utiliser l'information adjacente?

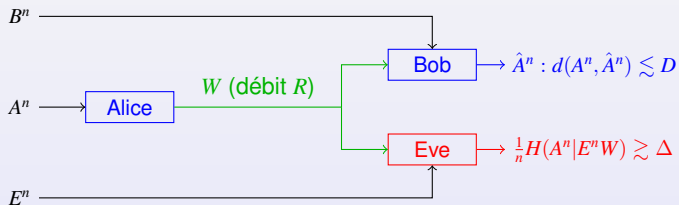
# Questions



## 1 Comment utiliser l'information adjacente?

- [WynerZiv76]: diminuer le débit  $R \geq I(V; A|B)$

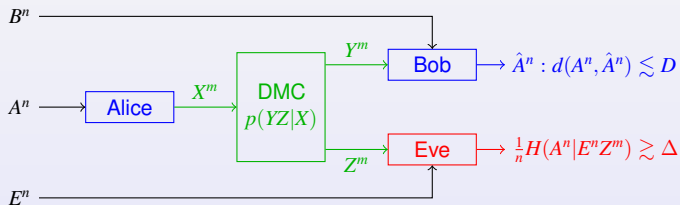
# Questions



## 1 Comment utiliser l'information adjacente?

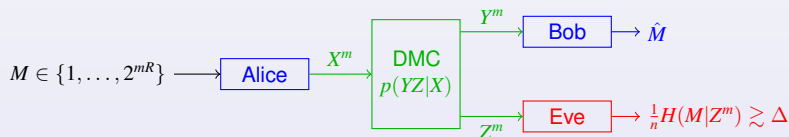
- [WynerZiv76]: diminuer le débit  $R \geq I(V; A|B)$
- augmenter la sécurité ?

# Questions



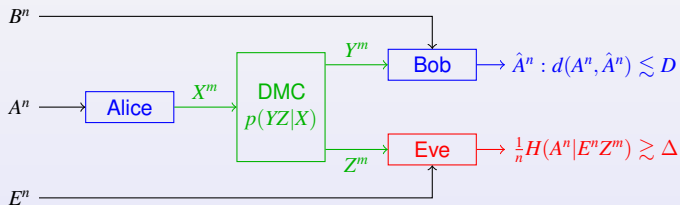
- 1 Comment utiliser l'information adjacente?
- 2 Comment tirer avantage du canal ?

# Questions



- 1 Comment utiliser l'information adjacente?
- 2 Comment tirer avantage du canal ?
  - [Wyner75][CsiszàrKörner78]: augmenter la sécurité

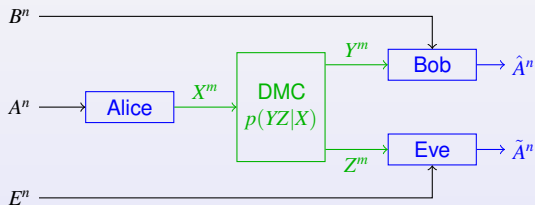
# Questions



- 1 Comment utiliser l'information adjacente?
- 2 Comment tirer avantage du canal ?
- 3 Le problème est-il séparable ?

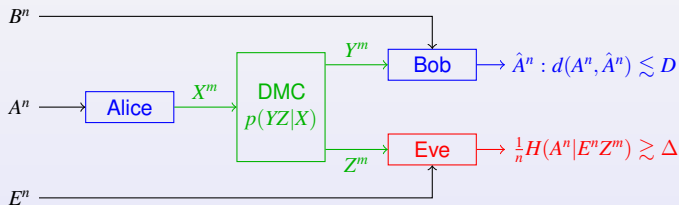


# Questions



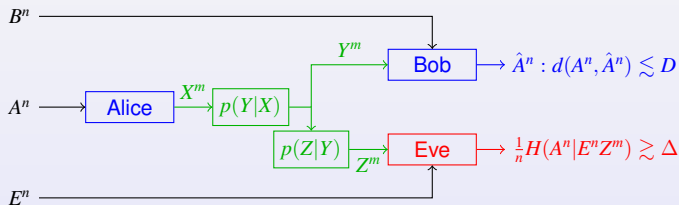
- 1 Comment utiliser l'information adjacente?
- 2 Comment tirer avantage du canal ?
- 3 Le problème est-il séparable ?
  - pour aider Bob et Ève, [Tuncel06] : schéma conjoint optimal

# Questions



- 1 Comment utiliser l'information adjacente?
- 2 Comment tirer avantage du canal ?
- 3 Le problème est-il séparable ?
  - pour aider Bob et Ève, [Tuncel06] : schéma conjoint optimal

# Questions



- 1 Comment utiliser l'information adjacente?
- 2 Comment tirer avantage du canal ?
- 3 Le problème est-il séparable ?
  - pour aider Bob et Ève, [Tuncel06] : schéma conjoint optimal
  - si  $A \oplus B \oplus E$ ,  $X \oplus Y \oplus Z$ , [Merhav08]:

codage source de Wyner-Ziv + codage canal de Wyner  
(*wiretap channel*)

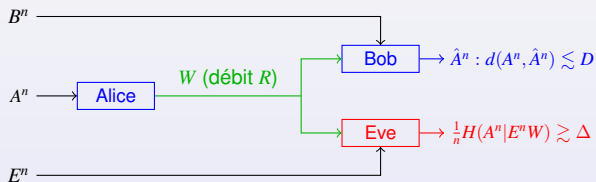
# Plan

- 1 Sous-problèmes
  - Codage source sous contrainte de sécurité
  - Codage canal sous contrainte de sécurité
- 2 Schéma numérique
  - Atteignabilité
  - Conditions d'optimalité
- 3 Schéma hybride

# Plan

- 1 **Sous-problèmes**
  - **Codage source sous contrainte de sécurité**
  - Codage canal sous contrainte de sécurité
  
- 2 Schéma numérique
  - Atteignabilité
  - Conditions d'optimalité
  
- 3 Schéma hybride

# Codage source sous contrainte de sécurité



## Caractérisation des triplets $(R, D, \Delta)$ atteignables

$$R \geq I(V; A|B)$$

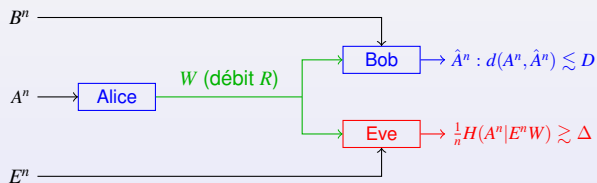
$$D \geq \mathbb{E}[d(A, \hat{A}(V, B))]$$

$$\Delta \leq H(A|UE) - I(V; A|UB)$$

pour  $U \oplus V \oplus A \oplus (B, E)$ , et  $\hat{A} : \mathcal{V} \times \mathcal{B} \rightarrow \mathcal{A}$ .

J. Villard & P. Piantanida, *Secure Multiterminal Source Coding with Side Information at the Eavesdropper*, soumis à IEEE Trans IT, [arXiv:1105.1658](https://arxiv.org/abs/1105.1658)

# Codage source sous contrainte de sécurité



## Caractérisation des triplets $(R, D, \Delta)$ atteignables

$$R \geq I(V; A|B)$$

$$D \geq \mathbb{E}[d(A, \hat{A}(V, B))]$$

$$\Delta \leq H(A|VB) + I(A; B|U) - I(A; E|U)$$

pour  $U \oplus V \oplus A \oplus (B, E)$ , et  $\hat{A} : \mathcal{V} \times \mathcal{B} \rightarrow \mathcal{A}$ .

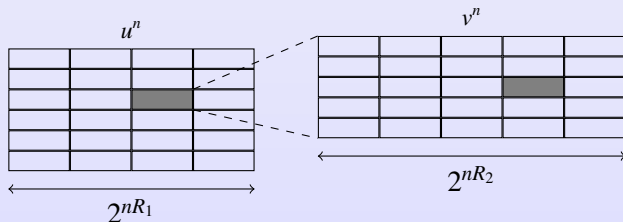
J. Villard & P. Piantanida, *Secure Multiterminal Source Coding with Side Information at the Eavesdropper*, soumis à IEEE Trans IT, [arXiv:1105.1658](https://arxiv.org/abs/1105.1658)

# Atteignabilité

- description de  $A$  en 2 couches  $U, V$
- messages  $r_1, r_2$  de débits resp.  $R_1, R_2$
- **superposition** ( $U \oplus V \oplus A$ )
- **binning** à la Wyner-Ziv

$$R_1 > I(U; A|B)$$

$$R_2 > I(V; A|UB)$$





## Atteignabilité (suite)

- Distorsion à Bob

$$\mathbb{E}[d(A^n, g(f(A^n), B^n))] \approx \mathbb{E}[d(A, \hat{A}(V, B))]$$

- Incertitude à Eve

$$\begin{aligned} H(A^n | f(A^n) E^n) &= H(A^n | r_1 r_2 E^n) \\ &= H(A^n | r_1 E^n) - I(A^n; r_2 | r_1 E^n) \\ &\geq H(A^n | r_1 E^n) - H(r_2) \\ &\geq n [H(A | UE) - R_2] \end{aligned}$$

# Plan

## 1 Sous-problèmes

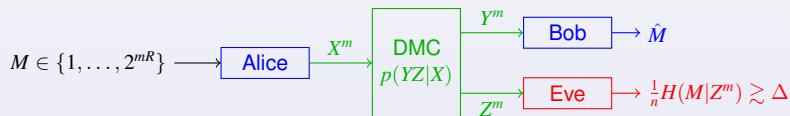
- Codage source sous contrainte de sécurité
- Codage canal sous contrainte de sécurité

## 2 Schéma numérique

- Atteignabilité
- Conditions d'optimalité

## 3 Schéma hybride

# Codage canal sous contrainte de sécurité



*wiretap channel* [Wyner75][CsiszàrKörner78]

$$0 \leq \Delta \leq R$$

$$R \leq I(T; Y)$$

$$\Delta \leq I(T; Y|Q) - I(T; Z|Q)$$

pour  $Q \oplus T \oplus X \oplus (Y, Z)$ .

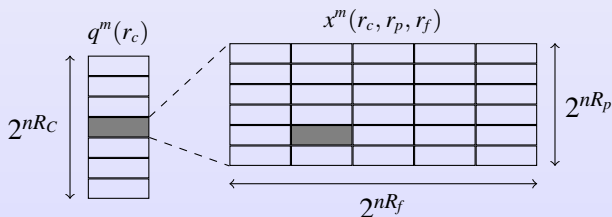
# Atteignabilité [CsiszàrKörner78]

- 2 couches  $Q, X$
- messages  $r_c, r_p$  de débits resp.  $R_c, R_p$
- **bruit numérique**  $r_f$  de débit  $R_f$  ajouté sur  $X$

$$R_c < I(Q; Y)$$

$$R_p + R_f < I(X; Y|Q)$$

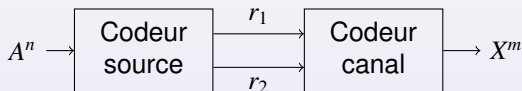
$$R_f < I(X; Z|Q)$$



# Plan

- 1 Sous-problèmes
  - Codage source sous contrainte de sécurité
  - Codage canal sous contrainte de sécurité
  
- 2 Schéma numérique
  - Atteignabilité
  - Conditions d'optimalité
  
- 3 Schéma hybride

# Structure “séparée”



## Séparation opérationnelle

- 2 parties séparées
- étude **conjointe**

## Caractérisation

- variables de source indépendantes des variables de canal
- optimisation **conjointe**

J. Villard, P. Piantanida and S. Shamai, *Secure Lossy Source-Channel Wiretapping with SI at the Receiving Terminals*, ISIT 2011, [arXiv:1105.4555](https://arxiv.org/abs/1105.4555)

# Atteignabilité

## Encodage

- description de  $A$  en  $U, V$
- combinaison des bits :  $M : (r_1, r_2) \mapsto (r_c, r_p)$
- deux couches  $Q, X$  pour transporter  $r_c, r_p$
- + bruit  $r_f$  pour protéger  $r_p$

$$\begin{array}{rcl}
 R_1 & > & I(U; A|B) \\
 R_2 & > & I(V; A|UB) \\
 R_1 + R_2 & = & R_c + R_p
 \end{array}
 \qquad
 \begin{array}{rcl}
 R_c & < & kI(Q; Y) \\
 R_p + R_f & < & kI(X; Y|Q) \\
 R_f & < & kI(X; Z|Q)
 \end{array}$$

# Atteignabilité

## Encodage

- description de  $A$  en  $U, V$
- combinaison des bits :  $M : (r_1, r_2) \mapsto (r_c, r_p)$
- deux couches  $Q, X$  pour transporter  $r_c, r_p$
- + bruit  $r_f$  pour protéger  $r_p$

$$\begin{array}{rcl}
 R_1 & > & I(U; A|B) \\
 R_2 & > & I(V; A|UB) \\
 R_1 + R_2 & = & R_c + R_p
 \end{array}
 \qquad
 \begin{array}{rcl}
 R_c & < & kI(Q; Y) \\
 R_p + R_f & < & kI(X; Y|Q) \\
 R_f & < & kI(X; Z|Q)
 \end{array}$$

## Incertitude à Eve

- Eve peut utiliser **conjointement**  $E^n$  et  $Z^m$
- résultats source et canal ne s'appliquent pas directement
- pour traiter les termes conjoints :  $R_1 \leq R_c$



# Région intérieure correspondante

$(k, D, \Delta) \in \mathbb{R}_+^3$  est atteignable s'il existe

- des v.a.  $U, V, Q, T, X$  t.q.

$$U \circlearrowleft V \circlearrowleft A \circlearrowleft (B, E) \quad \perp\!\!\!\perp \quad Q \circlearrowleft T \circlearrowleft X \circlearrowleft (Y, Z)$$

- une fonction  $\hat{A} : \mathcal{V} \times \mathcal{B} \rightarrow \mathcal{A}$ ,

$$I(U; A|B) \leq kI(Q; Y)$$

$$I(V; A|B) \leq kI(T; Y)$$

$$D \geq \mathbb{E}[d(A, \hat{A}(V, B))]$$

$$\Delta \leq H(A|UE) - \left[ I(V; A|UB) - k \left( I(T; Y|Q) - I(T; Z|Q) \right) \right]_+$$

# Plan

- 1 Sous-problèmes
  - Codage source sous contrainte de sécurité
  - Codage canal sous contrainte de sécurité
  
- 2 Schéma numérique
  - Atteignabilité
  - Conditions d'optimalité
  
- 3 Schéma hybride

# Conditions d'optimalité et schémas optimaux

La variable aléatoire  $B$  est **moins bruitée** que  $E$  p/r  $A$ , si

$$I(U; B) \geq I(U; E)$$

pour tout  $U$  t.q.  $U \perp\!\!\!\perp A \perp\!\!\!\perp (B, E)$ . On note  $B \succeq_A E$ .

# Conditions d'optimalité et schémas optimaux

La variable aléatoire  $B$  est **moins bruitée** que  $E$  p/r  $A$ , si

$$I(U; B) \geq I(U; E)$$

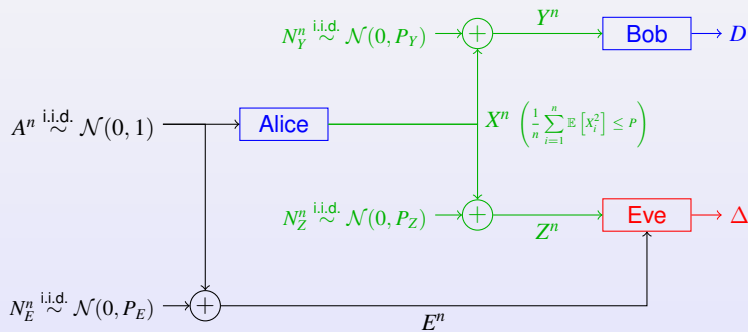
pour tout  $U$  t.q.  $U \perp A \perp (B, E)$ . On note  $B \succeq_A E$ .

	$B \succeq_A E$	$E \succeq_A B$
$Y \succeq_X Z$	Wyner-Ziv + codage pour <b>wiretap</b>	<b>?</b>
$Z \succeq_X Y$	Wyner-Ziv + codage canal <b>classique</b>	codage source <b>sécurisé</b> + codage canal <b>classique</b>

# Plan

- 1 Sous-problèmes
  - Codage source sous contrainte de sécurité
  - Codage canal sous contrainte de sécurité
  
- 2 Schéma numérique
  - Atteignabilité
  - Conditions d'optimalité
  
- 3 Schéma hybride

## Exemple gaussien



Hypothèse :  $P_Y < P_Z$

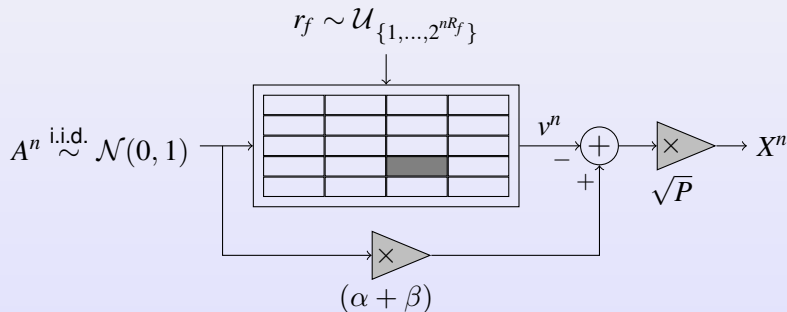
On a bien :  $E \succeq_A B$  et  $Y \succeq_X Z$

Distorsion : erreur quadratique,  $d(a, b) = (a - b)^2$

# Codage hybride

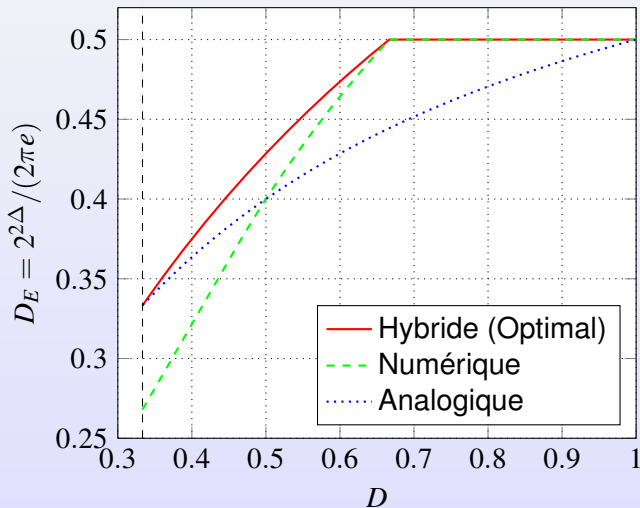
Mots de code  $v^n$  :  $V = \alpha A + \gamma N$

où  $\alpha \in \mathbb{R}$ ,  $\beta < 1$ ,  $\gamma = \sqrt{1 - \beta^2}$  et  $N \stackrel{\text{i.i.d.}}{\sim} \mathcal{N}(0, 1)$ .



J. Villard, P. Piantanida and S. Shamai, *Hybrid Digital/Analog Schemes for Secure Transmission with Side Information*, ITW 2011, [arXiv:1109.0696](https://arxiv.org/abs/1109.0696)

# Résultats numériques





# Conclusion

- Codage de source sous contrainte de sécurité :  
**caractérisation** de la région atteignable

# Conclusion

- Codage de source sous contrainte de sécurité :  
**caractérisation** de la région atteignable

- Schéma numérique :

codage de source sécurisé + codage canal pour wiretap

→ Séparation opérationnelle

# Conclusion

- Codage de source sous contrainte de sécurité :  
**caractérisation** de la région atteignable

- Schéma numérique :

codage de source sécurisé + codage canal pour wiretap

→ Séparation opérationnelle

- **Optimal** sous certaines conditions ( $B \succeq_A E$  ou  $Z \succeq_X Y$ )

+ Séparation

# Conclusion

- Codage de source sous contrainte de sécurité :  
**caractérisation** de la région atteignable

- Schéma numérique :

codage de source sécurisé + codage canal pour wiretap

→ Séparation opérationnelle

- **Optimal** sous certaines conditions ( $B \succeq_A E$  ou  $Z \succeq_X Y$ )

+ Séparation

- Schéma **hybride** optimal dans certains cas gaussiens, binaires, ...

## Merci de votre attention.

J. Villard and P. Piantanida

Secure Multiterminal Source Coding with Side Information at the Eavesdropper  
soumis à *IEEE Trans. Inf. Theory*, arXiv:1105.1658

J. Villard, P. Piantanida and S. Shamai

Secure Lossy Source-Channel Wiretapping with Side Information at the  
Receiving Terminals  
*ISIT 2011*, arXiv:1105.4555

J. Villard, P. Piantanida and S. Shamai

Hybrid Digital/Analog Schemes for Secure Transmission with Side Information  
*ITW 2011*, arXiv:1109.0696